Доклады Академии наук СССР 1973. Том 209, № 1

УДК 539.26:541.68

ФИЗИЧЕСКАЯ ХИМИЯ

А. И. КУРИЛЕНКО, Л. П. КРУЛЬ, В. И. ГЕРАСИМОВ, Н. Ф. БАКЕЕВ

ГЕТЕРОГЕННАЯ СТРУКТУРА И ТЕРМОМЕХАНИЧЕСКИЕ СВОЙСТВА ОРИЕНТИРОВАННОГО ПОЛИЭТИЛЕНА С ПРИВИТЫМ ПОЛИАКРИЛОНИТРИЛОМ

(Представлено академиком П. А. Ребиндером 3 VII 1972)

Можно предполагать (1), что основной особенностью структуры привитых материалов, определяющей весь комилекс их физико-химических свойств, является микрогетерогенность. Обычно привитые полимеры термодинамически несовместимы с полимерами материалов матриц и должны создавать собственные структуры, выполняющие функции кристаллитов или частиц активных наполнителей. Правильность этой гинотезы подтверждена апализами зависимостей от различных факторов термомелалических свойств ориентированных привитых материалов (4-3).

Пля получения прямых доказательств гетерогенной структуры привитых материалов и правильности межанизма в настоящей работе проведено петальное рептенографическое изучение структуры подистилена (ПЭ) с привитым педиакрилонитридом (ПАН) в диапазоне от 20 до 200°, результаты которого сопоставлены с термомеханическими свойсквами этих же образнов. Выбранная монельная система практически интереска и изучена лучше других (1-4). Методом малоуглового рентгеновского рассенния структура ее не изучалась. Опыты проводили с изотронными пленками ПЭ низкого давления толщиной 200 и, полученными прессованием расплава и вытянутыми при 90° в 8 раз (λ — отношение конечной длины образца к начальней). Прививку осуществляли при 20° облучением образца у-лучами Со в пленок, пабухних в смеси бензола и акрилонитрила (2:1). Это обеспечило образование только привитого ПАН, равномерно распределенного по сечению материала. Контрольный образеи облучен в бензоле по той же дозы (2,2 Мрад). Непосредственно в процессе нагрева фиксированных по длине образцов измеряли внутренние папряжения о по известной методике (3) и снимали рентгенограммы в больших (б.у.р.) (м.у.р.) углах по методике (5). При съемке рентгенограмм время экснозиции было равно 0.5-2 мин., что позволило наблюдать изменения структуры непосредственно во время прогрева. Характерные результаты изучения структуры тиничного привитого образца, содержащего 13,8% (от веса ПЭ) ПАН, и контрольного образца приведены на рис. 1 и 2. Привитый и контрольный образцы, как видно из рептгенограмм в больших и малых углах, обладают c-текстурой кристаллитов с одинаковым большим периодом. На б.у.р. привитого образца цет рефлексов структур ПАН. Всличина дихроичного отношения полосы поглощения 2248 см-1 ПАН и.-к. спектра образца в поляризованном свете равна 1,05 до вытяжки и 1,2 после. Следовательно. ПАН почти не ориентируется в процессе формирования фибриллярной структуры ПЭ.

На м.у.р. привитого образца в отличие от контрольного есть экваториальное диффузное рассеяние. На основании рассеяния в твердом полимере нельзя сказать, являются ли рассеивающие элементы областями повышенной или пониженной электронной плотности. Нагрев образцов сопровождается уменьшением расстояния между меридиональными рефлексами на м.у.р., постепенным разрушением с-текстуры и появлением

К статье А. И. Куриленко, Л. П. Круля и др., стр. 144

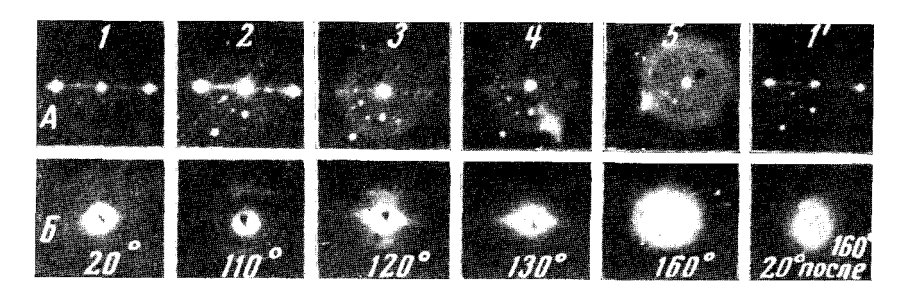


Рис. 2. Рентгенограммы привитого образца в больших (A) и малых (E) углах при различных температурах. Номера рептгенограмм соответствуют померам точек кривой a рис. 1

K статье A. B. Раевского, $\Gamma.$ E. Манелиса и $\partial p.$, стр. 157

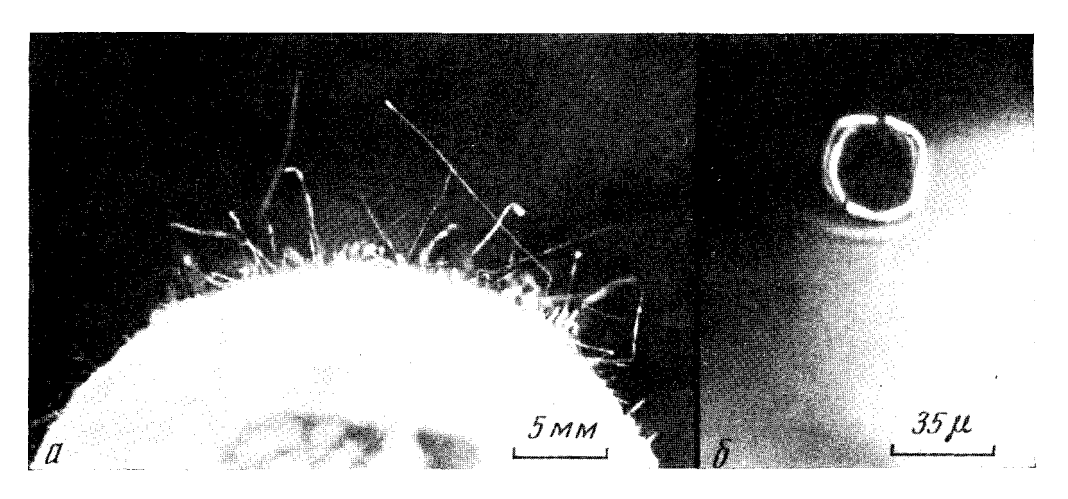


Рис. 2

аморфных гало на б.у.р., т. е. большой период ПЭ увеличивается и кристальным плавятся. В расплавленном состоянии контрольный образец на м.у.р. пе имеет рассеяния, а у привитого образца диффузное экваториальное рассеяние с повышением температуры становится интенсивнее, причем постепенно изменяет свою форму: удлиняется в интервале от 110° до температуры плавления ПЭ, равной 135°, и значительно расширяется при нагреве до 160°. Наблюдаемое на м.у.р. рассеяние в привитом образце однозначно доказывает его микрогетерогенную структуру. Поскольку плотность ПАН выше плотности аморфного ПЭ (1,154 и 0,9 соответственно),

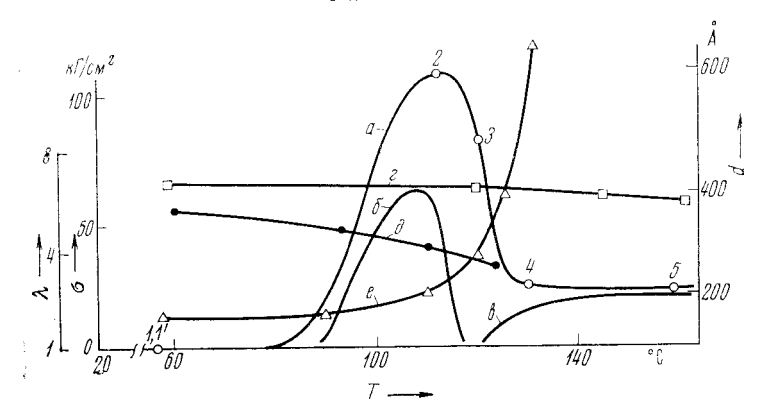


Рис. 1. Зависимость структуры и впутренних напряжений коптрольного $(\delta, \ \theta)$ и привитого ПЭ от температуры. $a, \ \delta, \ s$ — внутренние напряжения (s — при повторном прогреве), $s, \ \theta$ — степень вытяжки, e — величина большого периода

рассеивающими областями являются привитые структуры повышенной илотности, вытянутые вдоль оси ориентации пленок. Судя по изменениям характера диффузного рассеяния на м.у.р., по мере плавления ПЭ привитые структуры перестраиваются: сначала удлиняются, затем уменьшаются.

При охлаждении ниже температуры плавления ПЭ на б.у.р. контрольного образца вместо c-текстуры образуется а-текстура кристаллитов. В привитом образце ПЭ кристаллизуется с полным восстановлением с-текстуры на б.у.р., и на м.у.р. появляются меридиональные рефлексы на несколько меньшем расстоящим, т. е. большой период необратимо увеличивается. Образец сохраняет начальную степень вытяжки, которая оценивалась по усадке пленки при 160° в свободном состоянии (рис. 1). Следовательно, привитые структуры полностью предотвращают релаксацию ориентированных макромолекул расплавленного ПЭ. При кристаллизации ПЭ площадь пятна экваториального рассеяния резко уменьшается, т. е. размеры рассеивающих структур растут. Последующие циклы плавление — кристаллизация сопровождаются только обратимыми изменениями размера и интенсивности экваториального рассеяния на м.у.р., а б.у.р.— переходами от с-текстуры кристаллитов к аморфному гало и обратно.

Результаты изучения кинетики изменений гетерогенной структуры привитого образца позволяют представить процесс формирования ее следующим образом. Прививка происходит в аморфных областях пленки. Привитые структуры при вытяжке пленок перестраиваются и концентрируются в межфибриллярных областях. Привитые структуры, вероятно, имеют повышенную жесткость, что исключает возможность ориентационной вытяжки ПАН и обеспечивает увеличение доли нагружаемых цепей ПЭ. По мере размораживания подвижности полимеров происходит как бы выделение «капель» термодинамически песовместимых с ПЭ привитых структур (в пределах объема микрообластей). Особенно интенсивно этот

процесс протекает вблизи температуры плавления ПЭ (выше температуры стеклования ПАН, равной ~90°). При более высокой температуре с заметной скоростью происходят химические реакции внутри и межмолекулярного сшивания ПАН (образец постепенно темнеет), повышается теплостойкость привитых структур (ПАН размягчается при 230—250°). При охлаждении пленки слои ПЭ, прилегающие к привитым структурам, вероятно, уплотняются за счет разрыхления более удаленных областей, что и вызывает наблюдаемое увеличение размеров рассеивающих частин.

Средний размер привитых структур в расплаве ПЭ ~200 Å, концентрации их, очевидно, близка к концентрации кристаллитов, они равномерно распределены по объему образца и связаны с ПЭ химически и адсорбционно. Сочетание этпх свойств позволяет привитым структурам выполнять даже в расплавленном ПЭ функции кристаллитов, чем обусловлены все особенности физико-химических свойств привитых материалов. Наглядно они проявляются в особенностях диаграммы изометрического нагрева

данного привитого образца (рис. 1).

Рост напряжений σ в контрольном образце начинается при 90° (что соответствует температуре вытяжки), максимальным величин $\sigma_{\text{мах}}$ доститают при $105-110^\circ$ и затем резко спадают; вблизи точки плавления $\Pi \ni 0$ образец разрушается. В привитом образце рост σ начинается при 80° , $\sigma_{\text{мах}}$ при 110° вдвое больше, чем у контрольного, а выше точки плавлении $\Pi \ni 0$ постоянные σ сохраняются на высоком уровне -25 кг/см². При повторном нагреве контрольных и привитых образцов диаграммы $\sigma - T$ имеют как бы усеченную форму — σ возникают только при температуре, до которой нагрет образец в первый раз, и по величине близки к первоначальным. Когда пленки прогревают выше точки плавления $\Pi \ni 0$, у привитого образца в отличие от контрольного при повторном прогреве около 110° появляются σ , а при 130° , когда $\Pi \ni 0$ расплавлен, полностью восстанавливаются напряжения, которые наблюдались при первом прогреве.

Обращает на себя внимание совпадение температур, при которых на чинает увеличиваться большой период d и σ , а также уменьшается σ и степень кристалличности (появление и рост аморфного гало на б.у.р.). Очевидно, экстремальный характер зависимости σ от температуры — результат конкуренции двух процессов. Рост σ связан, вероятно, с ростом подвижности ориентированных макромолекул Π 3, что сопровождается перестройкой кристаллитов и необратимым увеличением большого периода (7), а спад — с разрушением кристаллитов, уменьшение объемной доли которых формально эквивалентно уменьшению концентрации «узлов» в модели пространственного ориентированного полимера, проявляющего энтропийную упругость.

В привитом образце уменьшена эффективная доля аморфных областей и в процессе вытяжки создается структура с повышенной концентрацией сшивок, что обеспечивает подъем и расширение диаграмм изометрического нагрева (рис. 2). Первый прогрев привитого образца в изометрическом состоянии приводит к необратимой перестройке кристаллической структуры ПЭ, в результате которой создаются теплостойкие ориентиро-

ванные структуры ПЭ. Поэтому при повторном прогреве энтропийная

упругость ПЭ размораживается только при нагреве до плавления.

Белорусский государственный университет им. В. И. Ленина Минск

Поступило 20 VI 1972

температуры

МИНСК

ЦИТИРОВАННАЯ ЛИТЕРАТУРА

¹ А. И. Куриленко, ДАН, 203, 1078 (1972). ² А. И. Куриленко, Л. П. Круль, В. П. Якимцов, Высокомолек. соед., Б14, 243 (1972). ³ А. И. Куриленко, Л. П. Круль, ДАН, 207, № 2 (1972). ⁴ Б. Баттерд, Д. У. Трегер, Свойства привитых и блок-сополимеров, Л., 1970. ⁵ М. М. Бутслов, Я. В. Генна и др., Приборы и техн. эксп., № 1 (1972). ⁶ Усиление эластомеров, под ред. Дж. Крауса, М., 1968. ⁷ С. Я. Френкель, Доп. III к кн. Ф. Х. Джейла Полимериые монокристаллы, 1968.